

DOI: 10.7524/AJE.1673-5897.20220516002

郑爱, 赵粉线, 石影, 等. 丙烯腈致大鼠肝细胞损伤中 PI3K/AKT 信号通路的作用[J]. 生态毒理学报, 2023, 18(2): 346-355

Zheng A, Zhao F X, Shi Y, et al. Role of PI3K/AKT signaling in acrylonitrile-induced hepatocyte injury in rats [J]. Asian Journal of Ecotoxicology, 2023, 18(2): 346-355 (in Chinese)

# 丙烯腈致大鼠肝细胞损伤中 PI3K/AKT 信号通路的作用

郑爱, 赵粉线, 石影, 郑蓉, 党瑜慧, 李芝兰\*

兰州大学公共卫生学院, 兰州 730000

收稿日期: 2022-05-16 录用日期: 2022-08-09

**摘要:** 为探讨丙烯腈(acrylonitrile, ACN)致大鼠肝细胞损伤中 PI3K/AKT 信号通路的作用, 随机将 60 只雄性 SD 大鼠分为 5 组: 对照组, ACN 低、中、高剂量染毒组和干预组。分别给予玉米油,  $11.5 \text{ mg} \cdot \text{kg}^{-1}$ ,  $23.0 \text{ mg} \cdot \text{kg}^{-1}$ ,  $46.0 \text{ mg} \cdot \text{kg}^{-1}$  ACN 和  $300 \text{ mg} \cdot \text{kg}^{-1}$  N-乙酰基半胱氨酸(NAC)+ $46.0 \text{ mg} \cdot \text{kg}^{-1}$  ACN 灌胃染毒, 灌胃容积为  $5.0 \text{ mL} \cdot \text{kg}^{-1}$ , 1 次·d<sup>-1</sup>, 6 d·周<sup>-1</sup>, 共 28 d。最后一次染毒 1 d 后, 大鼠麻醉心脏采血后处死, 取肝脏进行实验。(1)原位末端标记法(TUNEL)观察肝细胞凋亡水平; (2)定量逆转录聚合酶链反应法(qRT-PCR)检测 *pi3k*, *akt*, *bad*, *bcl-2*, *cyt c* 和 *caspase-3* 基因表达水平; (3)免疫印迹法(WB)检测 PI3K/AKT 信号通路和线粒体凋亡通路相关蛋白的表达水平。研究表明:(1)细胞凋亡方面。ACN 低、中剂量组凋亡细胞较对照组显著增多( $P < 0.05$ )。(2)mRNA 相对表达水平方面。与对照组相比, ACN 低剂量组 *bad*, *caspase-3* 显著升高( $P < 0.05$ ), *bcl-2* 显著降低( $P < 0.05$ ); ACN 中剂量组 *pi3k*, *bcl-2* 降低( $P < 0.05$ ), *cyt c* 升高( $P < 0.05$ ); ACN 高剂量组 *pi3k*, *bcl-2* 降低, *bad* 升高( $P < 0.05$ ); ACN 各剂量组 *akt* 无显著差异( $P > 0.05$ ); NAC 组 *bad* 较 ACN 高剂量组降低( $P < 0.05$ )。(3)蛋白相对表达水平方面。与对照组相比, ACN 低剂量组 pro-Caspase-3 降低, cleaved-Caspase-3 升高( $P < 0.05$ ); ACN 中剂量组 PI3K, p-Bad 和 pro-Caspase-3 降低, Caspase-9, Bad, Bax 和 Cyt c 升高, Bcl-2/Bax 值降低( $P < 0.05$ ); ACN 高剂量组 p-PI3K, p-AKT, Bcl-2, p-Bad 和 pro-Caspase-3 降低, Bad, Bax, Caspase-9, Cyt c 和 cleaved-Caspase-3 升高, Bcl-2/Bax 值降低( $P < 0.05$ ); ACN 各剂量组 AKT 无显著差异( $P > 0.05$ )。与 ACN 高剂量组相比, NAC 组 PI3K, p-Bad 和 pro-Caspase-3 升高, Bax, Caspase-9 和 cleaved-Caspase-3 降低( $P < 0.05$ )。ACN 抑制 PI3K/AKT 信号通路及激活线粒体凋亡途径可能是大鼠肝细胞损伤的原因之一。

**关键词:** 丙烯腈; 大鼠; 细胞凋亡; PI3K/AKT 信号通路; 肝细胞

文章编号: 1673-5897(2023)2-346-10 中图分类号: X171.5 文献标识码: A

## Role of PI3K/AKT Signaling in Acrylonitrile-induced Hepatocyte Injury in Rats

Zheng Ai, Zhao Fenxian, Shi Ying, Zheng Rong, Dang Yuhui, Li Zhilan\*

School of Public Health, Lanzhou University, Lanzhou 730000, China

Received 16 May 2022 accepted 9 August 2022

**Abstract:** To determine how acrylonitrile (ACN) affected the PI3K/AKT signaling in rat hepatocytes, sixty male Sprague-Dawley rats were randomly divided into 5 groups: control group, ACN low dose group ( $11.5 \text{ mg} \cdot \text{kg}^{-1}$ ), ACN medium dose group ( $23.0 \text{ mg} \cdot \text{kg}^{-1}$ ), ACN high dose group ( $46.0 \text{ mg} \cdot \text{kg}^{-1}$ ) and intervention group by ga-

第一作者: 郑爱(1989—), 女, 硕士研究生, 研究方向为卫生毒理学, E-mail: zhenga16@lzu.edu.cn

\* 通信作者 (Corresponding author), E-mail: lizhl@lzu.edu.cn

vage administered with the volume of  $5.0 \text{ mL} \cdot \text{kg}^{-1}$  once a day for 6 days a week for a total of 28 days, respectively. One day after the last gavage, rats were anesthetized for blood collection and sacrificed, and livers were harvested for additional assays. (1) Terminal-deoxynucleotidyl transferase mediated nick end labeling (TUNEL) was used to detect apoptosis; (2) Quantitative reverse transcription polymerase chain reaction method (qRT-PCR) was employed to examine gene expression of *pi3k*, *akt*, *bad*, *bcl-2*, *cyt c*, and caspase-3; (3) Western Blot (WB) was utilized to measure the expression level of protein related to PI3K/AKT signaling pathway and mitochondrial apoptosis pathway. Results indicated: (1) ACN low and medium group present a significant apoptotic phenomenon compared to control group ( $P < 0.05$ ). (2) mRNA level. In the ACN low dose group, *bad* and *caspase-3* were considerably upregulated ( $P < 0.05$ ), while *bcl-2* was dramatically downregulated ( $P < 0.05$ ); in ACN medium dose group, *pi3k* and *bcl-2* were decreased ( $P < 0.05$ ), whereas *cyt c* was increased ( $P < 0.05$ ). In the ACN high-dose group, *pi3k* and *bcl-2* decreased, while *bad* increased ( $P < 0.05$ ). There was no significant difference in *akt* between ACN dose groups ( $P > 0.05$ ). *bad* in N-acetylcysteine (NAC) group was lower than that in ACN high-dose group ( $P < 0.05$ ). (3) Protein level. Compared with the control group, pro-Caspase-3 was decreased and cleaved Caspase-3 was increased in the low-dose ACN group ( $P < 0.05$ ); in ACN medium-dose group, PI3K, p-Bad, pro-Caspase-3 and Bcl-2/Bax were decreased, Caspase-9, Bad, Bax and Cyt c were increased ( $P < 0.05$ ). In the ACN high-dose group, p-PI3K, p-AKT, Bcl-2, p-Bad, pro-Caspase-3 and Bcl-2/Bax were decreased, while Bad, Bax, Caspase-9, Cyt c, cleaved Caspase-3 were increased ( $P < 0.05$ ). There was no significant difference in AKT among the ACN dose groups ( $P > 0.05$ ). Compared with the high-dose ACN group, PI3K, p-Bad and pro-Caspase-3 were increased in the NAC group, while Bax, Caspase-9, and cleaved Caspase-3 were decreased ( $P < 0.05$ ). It is concluded that ACN may induce hepatocyte injury via PI3K/Akt signaling pathway and the activation of mitochondrial apoptosis pathway in rats.

**Keywords:** acrylonitrile; rats; cell apoptosis; PI3K/AKT signaling pathway; hepatocyte

丙烯腈(acrylonitrile, ACN)作为纤维、橡胶和树脂等高分子材料合成中的单体,在工业合成中具有重要地位<sup>[1]</sup>。在我国 ACN 生产量大,是备受关注的工业毒物和环境污染物。在厨房橡胶用品、香烟、食品包装和医用塑料材料中均可检测到 ACN<sup>[2-4]</sup>。

在职业、生活和环境中都可以接触到 ACN,它可经皮肤、消化道和呼吸道吸收进入人体,吸收后靶器官为肝、肾和脑等。肝脏损伤的机制可能与 ACN 引起肝组织氧化损伤有关<sup>[5]</sup>; 研究报道,PERK/eif2 $\alpha$  信号通路激活引起的细胞凋亡可能是 ACN 导致肝细胞损伤的原因<sup>[6]</sup>。

磷脂酰肌醇 3-激酶/蛋白激酶 B(phosphatidylinositol 3-kinase/protein kinases B, PI3K/AKT)信号通路激活后可抑制细胞凋亡的发生<sup>[7-8]</sup>,其参与细胞的存活、生长及凋亡等。AKT 是 PI3K 启动子的重要下游因子之一,激活的 PI3K 可活化 AKT,之后通过对下游底物的磷酸化来调控细胞发挥不同的功能<sup>[9]</sup>。PI3K/AKT 信号通路被激活后,磷酸化 Bad 的丝氨酸残基<sup>[10]</sup>,使其与 Bcl-2 和 Bcl-xL 的异源二聚体分离,可抑制细胞凋亡<sup>[11-12]</sup>。研究表明,活性氧

(reactive oxygen species, ROS)在细胞内的增加可激活酪氨酸磷酸酶,使 AKT 去磷酸化,导致下游的相关蛋白失活,起到促进凋亡的作用<sup>[13]</sup>;同时 AKT 激活后可以增加 ROS 的产生<sup>[14]</sup>。以上研究表明,细胞内 ROS 的增加可抑制 PI3K/AKT 信号通路,进一步会激活细胞线粒体凋亡通路。本团队前期研究结果表明,ACN 亚急性染毒后,可改变大鼠肝组织脂质过氧化水平,引起肝损伤<sup>[15]</sup>。

综上,ACN 可引起肝组织氧化损伤,而 ROS 可抑制 PI3K/AKT 信号通路而进一步激活线粒体凋亡途径引起细胞凋亡,因此,本研究主要探讨 PI3K/AKT 信号通路在 ACN 引起的大鼠肝细胞损伤中的作用及机制,为 ACN 的毒性作用研究提供科学依据。

## 1 材料与方法 (Materials and methods)

### 1.1 动物及其分组

60 只 SD 雄性大鼠,体质量  $180 \sim 220 \text{ g}$ , SPF 级,购自甘肃中医药大学医学动物实验中心,动物合格证编号 SCXK(甘)2015-0002, 实验设施合格证编号 SYXK(甘)2015-0005。大鼠适应性饲养 1 周后,

依体质量随机分成对照组、3个不同剂量ACN染毒组和干预组,每组12只。对照组给予玉米油灌胃,低、中、高剂量染毒组分别给予 $11.5\text{ mg}\cdot\text{kg}^{-1}$ 、 $23.0\text{ mg}\cdot\text{kg}^{-1}$ 、 $46.0\text{ mg}\cdot\text{kg}^{-1}$  ACN灌胃,干预组先给予抗氧化剂N-乙酰基半胱氨酸(N-acetylcysteine, NAC)  $300\text{ mg}\cdot\text{kg}^{-1}$ 灌胃30 min后,再用 $46.0\text{ mg}\cdot\text{kg}^{-1}$  ACN染毒(文中简称为NAC组)。每只大鼠灌胃容积为 $5.0\text{ mL}\cdot\text{kg}^{-1}$ ,每隔2 d称体质量调整灌胃剂量,灌胃1次·d<sup>-1</sup>,6 d·周<sup>-1</sup>,连续28 d。ACN染毒剂量依据本团队前期系列研究设定。研究通过了兰州大学公共卫生学院伦理委员会批准。

## 1.2 主要试剂和仪器

ACN(分析纯,纯度>99%,天津凯信,中国),NAC(Amresco, USA),BCA试剂盒(Thermo, USA),BSA、RIPR裂解液和PMSF(北京索莱宝有限公司,中国),彩色蛋白预染Marker(Thermo, USA),ECL发光液(上海碧云天生物科技公司,中国),TUNEL试剂盒(武汉博士德生物有限公司,中国),PI3K一抗(兔抗鼠)、p-PI3K一抗(兔抗鼠)、AKT一抗(兔抗鼠)、p-AKT一抗(兔抗鼠)、Bad一抗(兔抗鼠)、p-Bad一抗(兔抗鼠)(Cell Signalway Technology, USA),Bax一抗(兔抗鼠)、Bcl-2一抗(兔抗鼠)、Caspase-9一抗(兔抗鼠)、HRP标记山羊抗兔二抗、GAPDH一抗(兔抗鼠)(Signalway Antibody, USA),Cyt c一抗(兔抗鼠)、Caspase-3一抗(兔抗鼠)(Cell Signalway Technology, USA),Trizol试剂(Thermo, USA),cDNA反转录试剂盒、PCR扩增试剂盒(TaKaRa, Japan),PI3K、AKT、Bad、Bcl-2、Caspase-9、Cyt c和Caspase-3引物(TaKaRa, Japan),DEPC(Sigma, USA)。超低温高速离心机(Microfuge 22R, Beckman coulter, USA),电泳仪及凝胶成像系统(ChemiDoc XRS+, Bio-Tek, USA),PCR扩增仪(iQ5 Multicolor, Bio-Tek, USA),PCR测定仪(NANODROP 2000c, Bio-Tek, USA),光学显微镜(U-RFL-T, Olympus, Japan)。

## 1.3 TUNEL法检测大鼠肝细胞的凋亡水平

取肝组织切片脱蜡、水化后,蛋白酶K 37 °C消化10 min,TBS洗3次。加封闭液,37 °C放置30 min。加生物素化抗地高辛抗体,37 °C放置30 min,TBS洗3次。加SABC,37 °C放置30 min,TBS洗4次。DAB显色,水洗,苏木素轻度复染后,水洗,烘干,封片。光学显微镜下观察细胞凋亡情况,方法细节详见文献[16]。

## 1.4 qRT-PCR检测mRNA表达

切取肝组织 $70\sim100\text{ mg}$ ,加4 °C预冷Trizol液,

震荡30 s,-80 °C冰箱过夜。研磨样品,加4 °C预冷氯仿,剧烈震荡15 s,4 °C、 $12\ 000\text{ r}\cdot\text{min}^{-1}$ 离心15 min,留上清,取350 μL,加入4 °C预冷异丙醇,震荡,静置10 min,4 °C、 $12\ 000\text{ r}\cdot\text{min}^{-1}$ 离心10 min,弃上清。白色沉淀中加入用0.1% DEPC配制的75%乙醇,摇匀,4 °C、 $7\ 500\text{ r}\cdot\text{min}^{-1}$ ,离心5 min,弃上清。沉淀物中加入4 °C预冷0.1% DEPC水,摇匀。取1 μL,选择 $A_{260}/A_{280}$ 的比值在1.8~2.2之间的样品进行反转录实验,剩余样液用0.1% DEPC水稀释备用,方法细节详见文献[16]。

选择20 μL反转录体系,反录条件为:37 °C、15 min,85 °C、5 s。得到cDNA模板,-80 °C冰箱保存备用。扩增体系选定为25 μL,引物如表1所示。PCR反应:95 °C预变性30 s→95 °C变性10 s、60 °C退火30 s、72 °C延伸30 s,共50个循环→60 °C熔解15 s,共71个循环。采用Pfaffl法分析目的基因mRNA的相对表达。

计算公式如下:

$$\text{扩增效率: } E = (R_{n,A}/R_{n,B})^{1/(C_{t,A}-C_{t,B})-1}$$

式中:A、B表示在扩增曲线上任意选取的2个点; $R_{n,A}$ 、 $R_{n,B}$ 为A、B这2点对应的荧光值; $C_{t,A}$ 和 $C_{t,B}$ 为A、B这2点对应的 $C_t$ 值。

$$\text{mRNA 相对表达水平: } \text{Ratio} = E_1^{\Delta C_{t1}}/E_0^{\Delta C_{t0}}$$

式中: $\Delta C_{t1}$ 表示对照组目的基因与实验组目的基因的 $C_t$ 值之差; $\Delta C_{t0}$ 表示对照组内参基因与实验组内参基因的 $C_t$ 值之差; $E_1$ 表示目的基因的扩增效率; $E_0$ 表示内参基因( $\beta$ -actin)的扩增效率。

## 1.5 Western Blot法检测蛋白表达

取大鼠肝组织 $100\sim200\text{ mg}$ ,按肝脏湿质量(g):RIPA裂解液(mL)为1:10加入对应体积经4 °C预冷的RIPA裂解液,冰水浴研磨成匀浆;4 °C、 $12\ 000\text{ r}\cdot\text{min}^{-1}$ 离心15 min,留上清。将蛋白浓度定为 $4\ \mu\text{g}\cdot\mu\text{L}^{-1}$ ,密封,煮沸5 min,取出冷却后置-80 °C冰箱备用,方法细节详见文献[16]。

通过制胶→SDS-PAGE凝胶电泳→转膜→封闭→一抗孵育→二抗孵育→曝光,保存目的蛋白条带。用Image J分析软件(美国NIH公司)进行灰度分析,公式如下:

$$\text{目的蛋白相对表达量} = \frac{\text{目的蛋白条带灰度值}}{\text{内参蛋白条带灰度值}}$$

## 1.6 统计分析

采用SPSS 22.0(美国IBM公司)进行实验结果分析。结果以 $\bar{x}\pm s$ 表示,用单因素方差分析(One-

Way ANOVA),方差齐用LSD-t检验,方差不齐用Dunnett' T3检验,检验水准 $\alpha=0.05$ 。

## 2 结果(Results)

### 2.1 TUNEL法检测大鼠肝细胞的凋亡

如图1所示,ACN低、中剂量组凋亡细胞较多。ACN低、中剂量组凋亡细胞数较对照组显著增多( $P<0.05$ );NAC组与ACN高剂量组相比凋亡细胞数无显著差异( $P>0.05$ )。

### 2.2 ACN对大鼠肝脏PI3K/AKT信号通路的影响

#### 2.2.1 ACN对大鼠肝脏PI3K/AKT通路相关基因的影响

如图2所示,mRNA相对表达水平检测结果显示,ACN中、高剂量组较对照组*pi3k*表达水平显著降低( $P<0.05$ );*akt*表达水平ACN各剂量组间的差异无统计学意义( $P>0.05$ )。*pi3k*和*akt*表达水平NAC组与ACN高剂量组相比较,差异均无统计学意义( $P>0.05$ )。

#### 2.2.2 ACN对大鼠肝脏PI3K/AKT通路相关蛋白的影响

免疫印迹法(WB)测定蛋白相对表达水平,如图3所示,PI3K表达水平ACN中剂量组较对照组显著降低( $P<0.05$ );p-PI3K、p-AKT表达水平ACN高剂量组较对照组显著降低( $P<0.05$ )。AKT表达水平ACN各剂量组间的差异无统计学意义( $P>0.05$ )。

PI3K表达水平NAC组与ACN高剂量组相比较显著升高( $P<0.05$ )。

### 2.3 ACN对大鼠肝细胞凋亡的影响

#### 2.3.1 ACN对大鼠肝细胞凋亡相关基因的影响

mRNA相对表达水平检测结果如图4所示,*bad*、*caspase-3*表达水平ACN低剂量组较对照组显著升高( $P<0.05$ ),*bcl-2*表达水平ACN低剂量组较对照组显著降低( $P<0.05$ );*cyclin c*表达水平ACN中剂量组较对照组显著升高( $P<0.05$ ),*bcl-2*表达水平ACN中剂量组较对照组显著降低( $P<0.05$ );*bad*表达水平ACN高剂量组较对照组显著升高,*bcl-2*表达水平ACN高剂量组较对照组显著降低( $P<0.05$ )。*bad*表达水平NAC组较ACN高剂量组显著降低( $P<0.05$ )。

#### 2.3.2 ACN对大鼠肝细胞凋亡相关蛋白的影响

WB测定蛋白相对表达水平结果如图5所示,*pro-Caspase-3*表达水平ACN低剂量组较对照组显著降低( $P<0.05$ ),*cleaved-Caspase-3*表达水平ACN低剂量组较对照组显著升高( $P<0.05$ );*p-Bad*、*pro-Caspase-3*表达水平ACN中剂量组较对照组显著降低( $P<0.05$ ),*Bad*、*Bax*和*Caspase-9*、*Cyt c*表达水平ACN中剂量组较对照组显著升高( $P<0.05$ ),*Bcl-2/Bax*值ACN中剂量组较对照组显著降低( $P<0.05$ );*p-Bad*、*Bcl-2*和*pro-Caspase-3*表达水平ACN高剂量组较对照组显著降低( $P<0.05$ ),*Bad*、*Bax*、*Caspase-9*、

表1 各基因引物序列及扩增长度

Table 1 Primer sequence and product size of each gene

基因名称 Genes	引物 Primers	引物序列 Sequences	扩增长度/bp Product size/bp
<i>pi3k</i>	Forward	5'-AGCTCCTGGAAGCCATTGAGAA-3'	177
	Reverse	5'-AGTCGGCGAGATAGCGTTGA-3'	
<i>akt</i>	Forward	5'-ATGGACTTCCGGTCAGGTTCA-3'	126
	Reverse	5'-GCCCTTGCCCAGTAGCTTCA-3'	
<i>bad</i>	Forward	5'-CCAGAGTTGAGCCGAGTGAG-3'	130
	Reverse	5'-GCTGCTGCTAACGATGCT-3'	
<i>bcl-2</i>	Forward	5'-GACTGAGTACCTGAACCGGCATC-3'	135
	Reverse	5'-CTGAGCAGCGTCTTCAGAGACA-3'	
<i>cyclin c</i>	Forward	5'-TGATCCTTGTGGTGTGACCAG-3'	146
	Reverse	5'-GACCATGGAGGTTGGTCCAGT-3'	
<i>caspase-3</i>	Forward	5'-GAGACAGACAGTGGAACTGACGATG-3'	147
	Reverse	5'-GGCGCAAAGTGAATGGATGA-3'	
<i>β-actin</i>	Forward	5'-GGAGATTACTGCCCTGGCTCCTA-3'	150
	Reverse	5'-GACTCATCGTACTCCCTGCTTGCTG-3'	

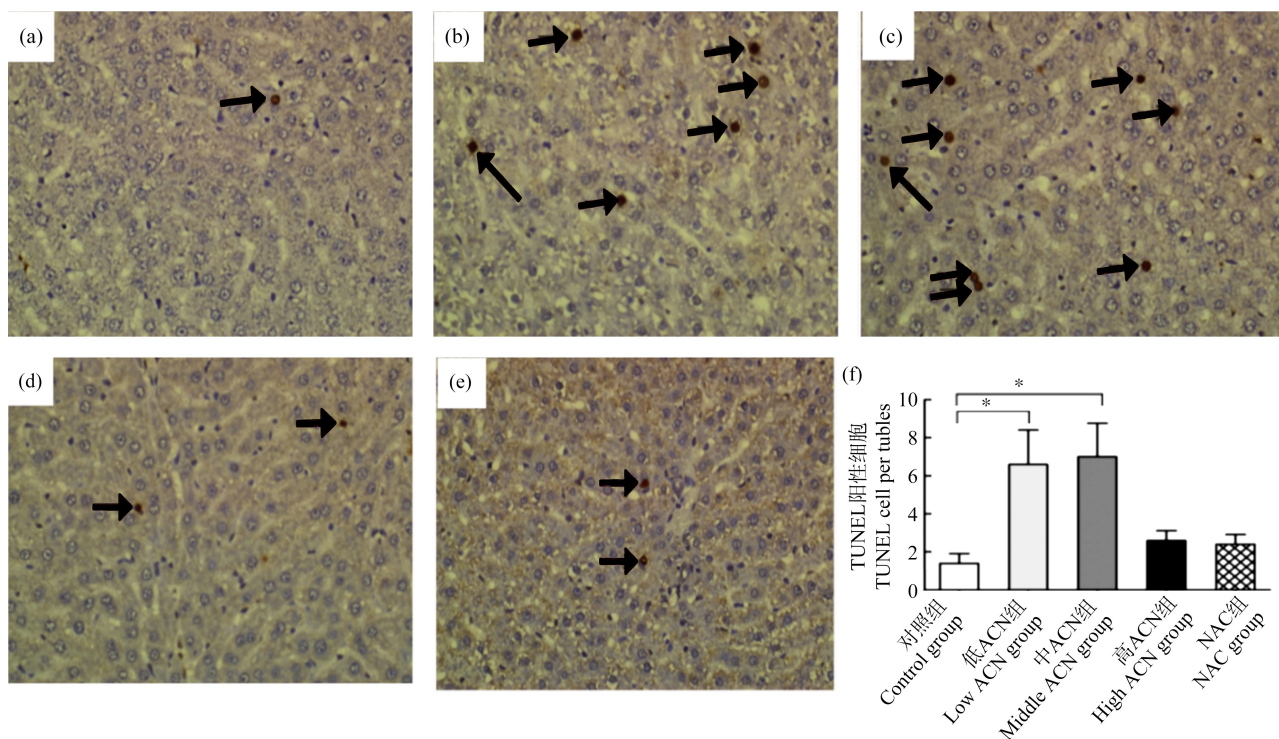


图1 丙烯腈(ACN)致大鼠肝组织中细胞的凋亡水平(TUNEL染色切片)(放大倍数:400×)

注:与对照组相比,\*  $P<0.05$ ;图(a)为对照组,图(b)为低 ACN 组( $11.5 \text{ mg} \cdot \text{kg}^{-1}$ ),图(c)为中 ACN 组( $23.0 \text{ mg} \cdot \text{kg}^{-1}$ ),图(d)为高 ACN 组( $46.0 \text{ mg} \cdot \text{kg}^{-1}$ ),图(e)为 N-乙酰基半胱氨酸(NAC)组( $300 \text{ mg} \cdot \text{kg}^{-1}$  NAC+ $46.0 \text{ mg} \cdot \text{kg}^{-1}$  ACN),图(f)为凋亡阳性细胞数;凋亡小体在图中以箭头标示,随机选取5个视野计数凋亡小体个数,取平均值。每组样本量为3。

Fig. 1 Acrylonitrile (ACN)-induced apoptosis in rat liver tissue (TUNEL staining) (magnification: 400×)

Note: Compared with the control group, \*  $P<0.05$ ; (a) shows the control group, (b) shows the low ACN group ( $11.5 \text{ mg} \cdot \text{kg}^{-1}$ ), (c) shows the middle ACN group ( $23.0 \text{ mg} \cdot \text{kg}^{-1}$ ), (d) shows the high ACN group ( $46.0 \text{ mg} \cdot \text{kg}^{-1}$ ), (e) shows the N-acetylcysteine (NAC) group ( $300 \text{ mg} \cdot \text{kg}^{-1}$  NAC+ $46.0 \text{ mg} \cdot \text{kg}^{-1}$  ACN), (f) shows the number of apoptotic positive cells; apoptotic bodies were marked by arrows in the figure; five visual fields of each film were randomly selected to count the number of apoptotic bodies, and the average value is taken;  $n=3$ .

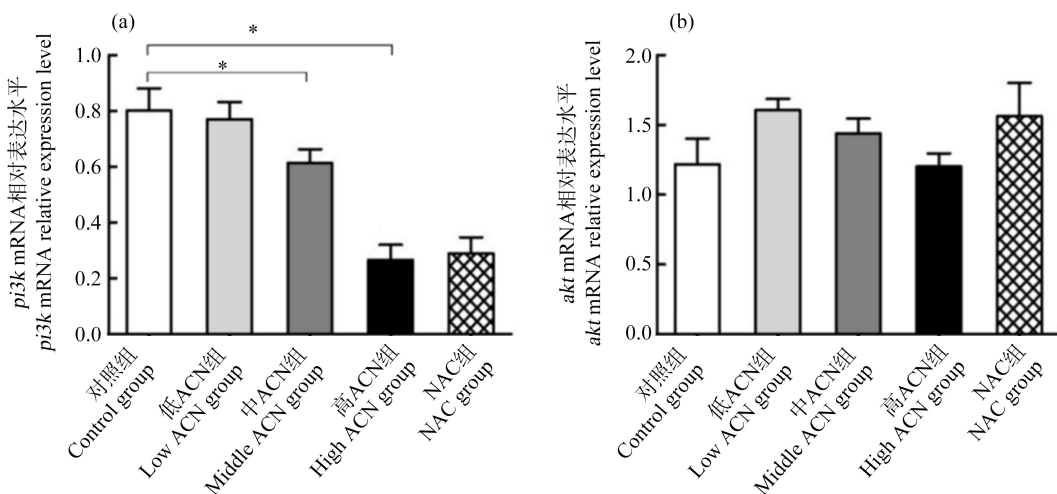


图2 ACN对大鼠肝脏 *pi3k* 和 *akt* mRNA 相对表达水平的影响( $n=6$ )

注: \* 与对照组相比,  $P<0.05$ ;图(a)为 *pi3k* mRNA 相对表达水平,图(b)为 *akt* mRNA 相对表达水平。

Fig. 2 Effect of ACN on the relative expression level of *pi3k* and *akt* mRNA in rat liver ( $n=6$ )

Note: Compared with the control group, \*  $P<0.05$ ; (a) shows the relative expression level of *pi3k* mRNA, and (b) shows the relative expression level of *akt* mRNA.

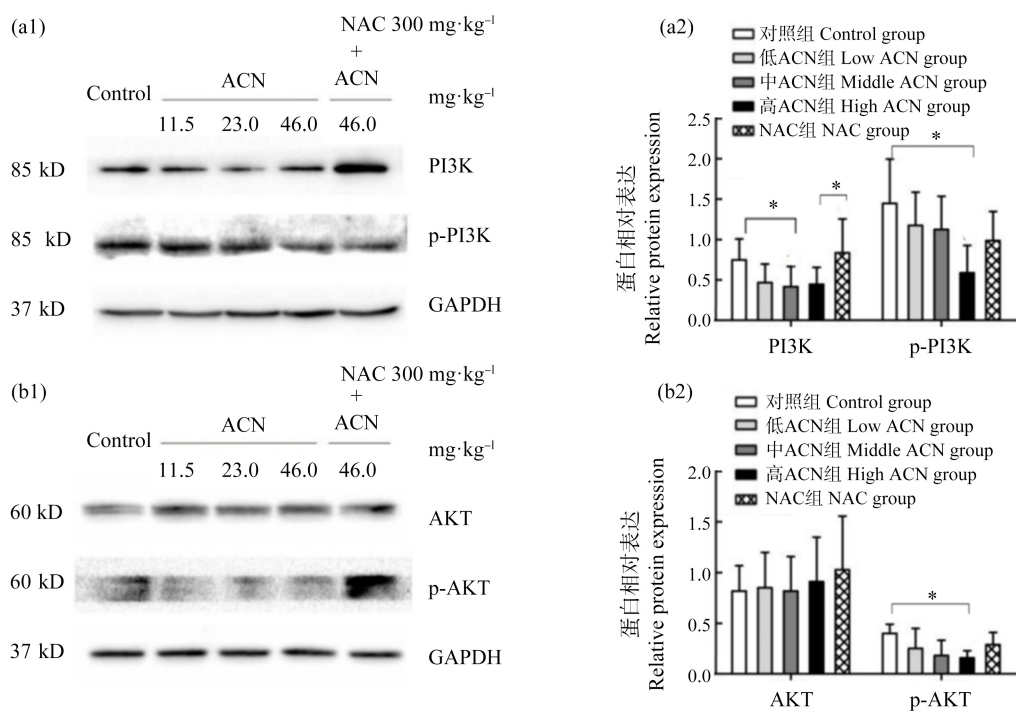


图3 ACN 对大鼠肝脏 PI3K/AKT 通路相关蛋白的相对表达的影响( $n=6$ )

注:与对照组相比,\*表示  $P<0.05$ ;图(a1)、(b1)分别为 PI3K、p-PI3K 和 AKT、p-AKT 蛋白条带,图(a2)、(b2)分别为 PI3K、p-PI3K 和 AKT、p-AKT 蛋白相对表达量。

Fig. 3 Effect of ACN on the relative expression of PI3K/AKT pathway related proteins in rat liver ( $n=6$ )

Note: Compared with the control, \* represents  $P<0.05$ ; (a1) show PI3K and p-PI3K protein bands, and (b1) show AKT and p-AKT protein bands; (a2) and (b2) show the relative expression levels of PI3K and p-PI3K, AKT and p-AKT proteins respectively.

Cyt c 和 cleaved-Caspase-3 表达水平 ACN 高剂量组较对照组显著升高( $P<0.05$ ),Bcl-2/Bax 值 ACN 高剂量组较对照组显著降低( $P<0.05$ )。p-Bad、pro-Caspase-3 表达水平 NAC 组较 ACN 高剂量组显著升高( $P<0.05$ ),Bax、Caspase-9 和 cleaved-Caspase-3 表达水平 NAC 组较 ACN 高剂量组显著降低( $P<0.05$ )。

### 3 讨论(Discussion)

#### 3.1 ACN 诱导大鼠肝细胞发生凋亡

本研究中,大鼠 ACN 染毒 28 d 后,肝细胞凋亡增多。进一步检测发现,与对照组相比较,肝细胞 *bcl-2* mRNA 相对表达水平在 ACN 低、中、高剂量组都显著降低;*bad* mRNA 相对表达水平在 ACN 低、高剂量组显著增高;*caspase-3* mRNA 相对表达水平在 ACN 低剂量组显著增高;*cyt c* mRNA 相对表达水平在 ACN 中剂量组显著增高。WB 结果显示,与对照组相比较,肝细胞 pro-Caspase-3 蛋白相对表达水平在 ACN 低、中、高剂量组都显著降低;cleaved-Caspase-3 蛋白相对表达水平在 ACN 低、高剂量组显著增高;Bad 蛋白相对表达水平在 ACN 中、高剂量

量组显著增高;Bax 蛋白相对表达水平在 ACN 中、高剂量组显著增高;Caspase-9 蛋白相对表达水平在 ACN 中、高剂量组显著增高;Cyt c 蛋白相对表达水平在 ACN 中、高剂量组显著增高;p-Bad 蛋白相对表达水平在 ACN 中、高剂量组显著降低;Bcl-2 蛋白相对表达水平在 ACN 高剂量组显著降低;Bcl-2/Bax 比值在 ACN 中、高剂量组均显著降低。这说明,ACN 可使肝细胞中抑制凋亡的相关因子的表达受到抑制,促凋亡的相关因子表达激活,这与 TUNEL 检测发现凋亡细胞增多的结果相吻合。但在本实验条件下,不同凋亡相关因子的 mRNA 相对表达水平和蛋白相对表达水平对 ACN 剂量的敏感性有所不同。

NAC 是氨基酸 L-半胱氨酸和谷胱甘肽(GSH)的乙酰化前体物质,其生物活性归因于巯基,与此同时由于乙酰基取代了氨基,其可以清除细胞内 ROS。赵乾龙等<sup>[17]</sup>报道,NAC 可通过抗氧化对 ACN 引起的睾丸细胞损伤有保护作用。张瑞萍等<sup>[18]</sup>发现 NAC 干预后可拮抗 ACN 诱导大鼠脑组织发生氧化应激;罗波艳等<sup>[19]</sup>报道,NAC 可降低 ACN

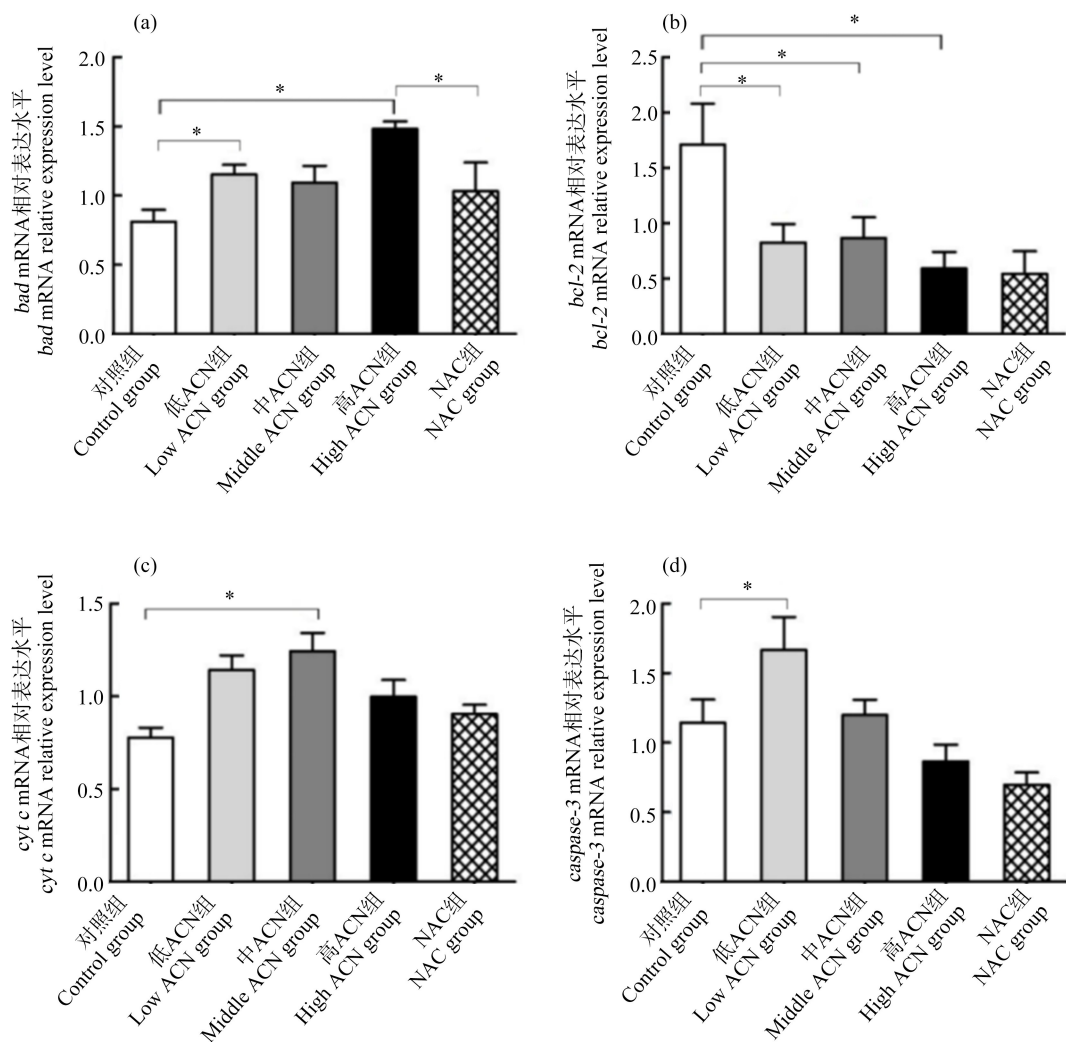


图4 ACN对大鼠肝脏 *bad*、*bcl-2*、*cyt c* 和 *caspase-3* mRNA 相对表达水平的影响(*n*=6)

注:与对照组相比,\*表示  $P<0.05$ ;图(a)为 *bad* mRNA 的相对表达水平,图(b)为 *bcl-2* mRNA 的相对表达水平,图(c)为 *cyt c* mRNA 的相对表达水平,图(d)为 *caspase-3* mRNA 的相对表达水平。

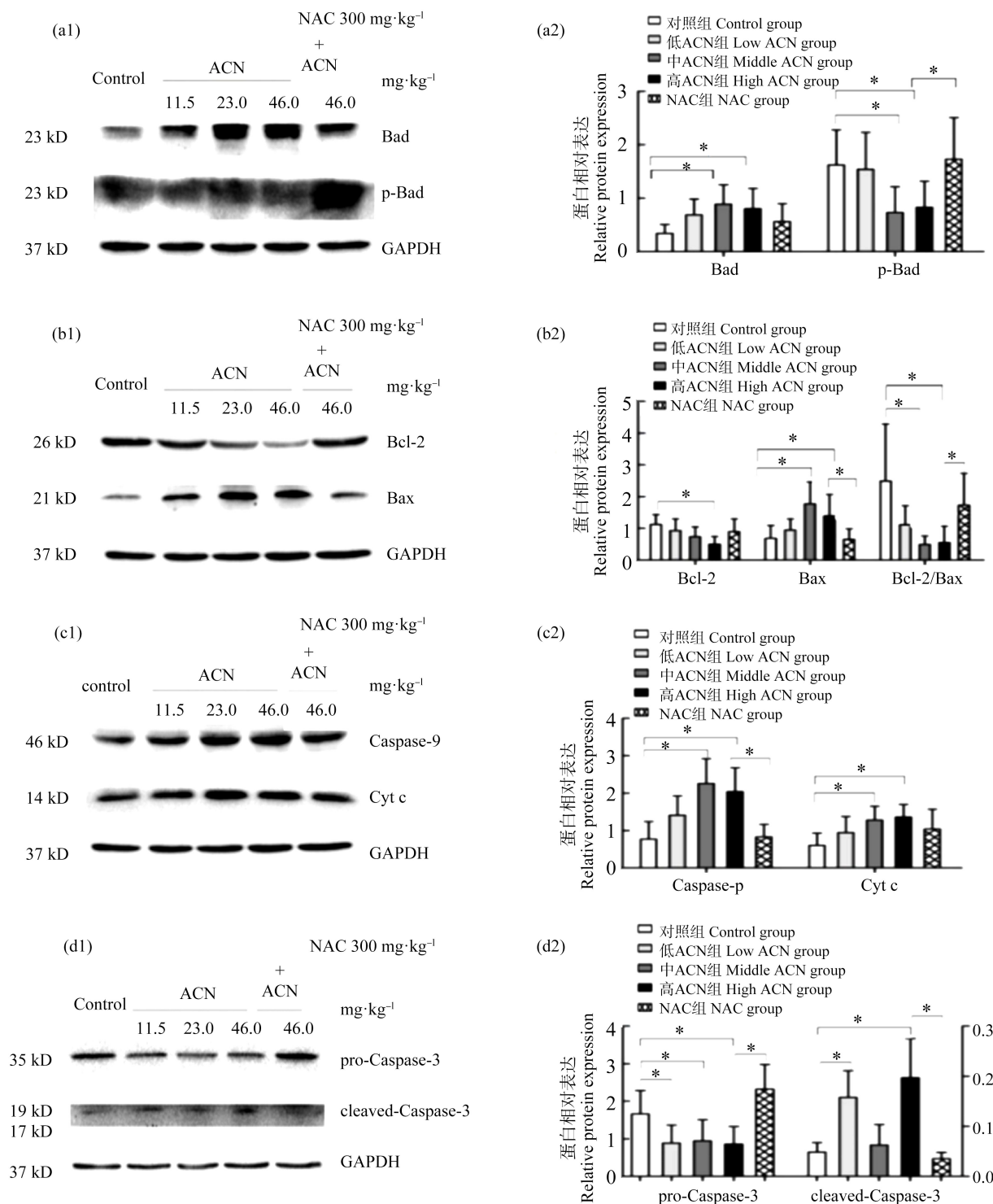
Fig. 4 Effect of ACN on the relative expression levels of *bad*, *bcl-2*, *cyt c* and *caspase-3* mRNA in rat liver (*n*=6)

Note: Compared with the control, \* represents  $P<0.05$ ; (a) shows the relative expression level of *bad* mRNA, (b) shows the relative expression level of *bcl-2* mRNA, (c) shows the relative expression level of *cyt c* mRNA, (d) shows the relative expression level of *caspase-3* mRNA.

诱导的大鼠脑组织氧化应激水平;潘丽等<sup>[6]</sup>发现 NAC 干预后可逆转 ACN 诱导的大鼠肝组织中丙二醛(MDA)含量升高、GSH 含量降低和超氧化物歧化酶(SOD)活性降低的变化,一定程度上减轻了肝组织的氧化损伤。本研究中,与 ACN 高剂量组相比, NAC 组 *bad* mRNA 相对表达水平显著降低, p-Bad、pro-Caspase-3 蛋白相对表达水平显著增高, Bax、Caspase-9 和 cleaved-Caspase-3 蛋白相对表达水平显著降低。这表明 NAC 给予后对大鼠肝细胞凋亡具有一定的保护作用,进一步验证了氧化应激参与了 ACN 所致的大鼠肝细胞凋亡。

### 3.2 PI3K/AKT 信号通路在 ACN 所致大鼠肝细胞凋亡中的作用

Suo 等<sup>[20]</sup>研究发现激活 PI3K/AKT 通路, Caspase-3 的活化可被抑制,可以起到抗氧化和抗凋亡的作用。研究报道,在 PI3K/AKT 通路中,激活的 PI3K 可以活化 AKT,从而使 Bad 蛋白磷酸化, Bcl-2、Bcl-xL 被释放出或两者结合被阻断并与 Bax 结合形成二聚体,起到抑制细胞凋亡的作用<sup>[21]</sup>;磷酸化的 Bax 可以直接与 Bcl-2 形成二聚体,起到抗凋亡的作用;活化的 AKT 可使 Caspase-9 磷酸化,发挥抑制凋亡的作用<sup>[22]</sup>。

图5 ACN对大鼠肝脏细胞凋亡相关蛋白表达的影响( $n=6$ )

注:与对照组相比,\*表示 $P<0.05$ ;图(a1)、(b1)、(c1)、(d1)分别为Bad和p-Bad、Bcl-2和Bax、Caspase-9和Cyt c、pro-Caspase-3和cleaved-Caspase-3的蛋白条带,图(a2)、(b2)、(c2)、(d2)分别为Bad和p-Bad、Bcl-2和Bax、Caspase-9和Cyt c、pro-Caspase-3和cleaved-Caspase-3蛋白相对表达量。

Fig. 5 Effect of ACN on the expression of apoptosis-related proteins in rat liver cells ( $n=6$ )

Note: Compared with the control, \* represents  $P<0.05$ ; (a1) show Bad and p-Bad protein bands, (b1) show Bcl-2 and Bax protein bands, (c1) show Caspase-9 and Cyt c protein bands, (d1) show pro-Caspase-3 and cleaved-Caspase-3 protein bands; (a2), (b2), (c2) and (d2) show the relative expression levels of Bad and p-Bad, Bcl-2 and Bax, Caspase-9 and Cyt c, pro-Caspase-3 and cleaved-Caspase-3 proteins respectively.

本研究结果显示,与对照组相比,ACN中剂量组 $pi3k$  mRNA相对表达水平显著降低,PI3K蛋白相对表达水平显著降低;ACN高剂量组 $pi3k$  mRNA相对表达水平显著降低,p-PI3K、p-AKT蛋白相对表达水平显著降低。这提示中剂量ACN染毒影响了 $pi3k$  mRNA和蛋白表达,高剂量ACN染毒影响了 $pi3k$  mRNA和p-PI3K、p-AKT蛋白表达;ACN中、高剂量组各指标的变化未同步显示出“一致性”,有待于今后深入研究。NAC组PI3K蛋白相对表达水平较高剂量ACN组显著增高,显示出在给大鼠抗氧化剂处理后,可减轻ACN对PI3K蛋白相对表达水平的抑制。这提示ACN对大鼠肝脏的过氧化使PI3K/AKT信号通路抑制,进而促进了肝细胞的凋亡。

在本实验条件下,大鼠肝组织产生了病理学改变,血清丙氨酸氨基转移酶、天门冬氨酸氨基转移酶活性升高,肝组织过氧化氢酶活性降低,谷胱甘肽含量降低,丙二醛含量升高。ACN可引起大鼠肝脂质过氧化水平升高,NAC可减轻ACN引起的大鼠肝脏氧化损伤<sup>[15]</sup>。因此,ACN诱导的氧化应激、PI3K/AKT信号通路的抑制和线粒体凋亡途径的激活可能是ACN致大鼠肝细胞损伤的主要机制。

**通信作者简介:**李芝兰(1962—),女,学士,教授,主要研究方向为环境与健康。

#### 参考文献(References):

- [1] Cole P, Mandel J S, Collins J J. Acrylonitrile and cancer: A review of the epidemiology [J]. Regulatory Toxicology and Pharmacology, 2008, 52(3): 342-351
- [2] Pouštková I, Pouštník J, Babička L, et al. Acrylonitrile in food contact materials - Two different legislative approaches: Comparison of direct determination with indirect evaluation using migration into food simulants [J]. Czech Journal of Food Sciences, 2007, 25(5): 265-271
- [3] Nazaroff W W, Singer B C. Inhalation of hazardous air pollutants from environmental tobacco smoke in US residences [J]. Journal of Exposure Analysis and Environmental Epidemiology, 2004, 14(Suppl 1): S71-S77
- [4] Ventura K, Eisner A, Adam M. Determination of acrylonitrile in materials in contact with foodstuffs [J]. Central European Journal of Public Health, 2004, 12 Suppl: S86-S89
- [5] 马国燕,金娜,李福轮,等.丙烯腈对小鼠肝组织脂质过氧化反应的影响[J].毒理学杂志,2011,25(5): 357-360
- [6] 潘丽,魏倩,高霞,等.丙烯腈诱导的氧化应激对大鼠肝脏内质网应激信号通路的影响[J].生态毒理学报,2018,13(2): 77-83
- [7] Pan L, Wei Q, Gao X, et al. Effects of acrylonitrile-induced oxidative damage on endoplasmic reticulum stress signaling pathway in rats' liver [J]. Asian Journal of Ecotoxicology, 2018, 13(2): 77-83 (in Chinese)
- [8] Mendoza M C, Er E E, Blenis J. The Ras-ERK and PI3K-mTOR pathways: Cross-talk and compensation [J]. Trends in Biochemical Sciences, 2011, 36(6): 320-328
- [9] Lam L, Hu X Y, Aktary Z, et al. Tamoxifen and ICI 182,780 increase Bcl-2 levels and inhibit growth of breast carcinoma cells by modulating PI3K/AKT, ERK and IGF-1R pathways independent of ERα [J]. Breast Cancer Research and Treatment, 2009, 118(3): 605-621
- [10] West K A, Sianna Castillo S, Dennis P A. Activation of the PI3K/Akt pathway and chemotherapeutic resistance [J]. Drug Resistance Updates, 2002, 5(6): 234-248
- [11] Chong Z Z, Li F Q, Maiese K. Oxidative stress in the brain: Novel cellular targets that govern survival during neurodegenerative disease [J]. Progress in Neurobiology, 2005, 75(3): 207-246
- [12] Schürmann A, Mooney A F, Sanders L C, et al. p21-activated kinase 1 phosphorylates the death agonist bad and protects cells from apoptosis [J]. Molecular and Cellular Biology, 2000, 20(2): 453-461
- [13] Datta S R, Dudek H, Tao X, et al. Akt phosphorylation of BAD couples survival signals to the cell-intrinsic death machinery [J]. Cell, 1997, 91(2): 231-241
- [14] Valera A, Pujol A, Gregori X, et al. Evidence from transgenic mice that myc regulates hepatic glycolysis [J]. FASEB Journal: Official Publication of the Federation of American Societies for Experimental Biology, 1995, 9(11): 1067-1078
- [15] Nogueira V, Park Y, Chen C C, et al. Akt determines replicative senescence and oxidative or oncogenic premature senescence and sensitizes cells to oxidative apoptosis [J]. Cancer Cell, 2008, 14(6): 458-470
- [16] 郑爱,赵粉线,石影,等.丙烯腈亚急性染毒致大鼠肝损伤及其可能机制探讨[J].毒理学杂志,2020,34(1): 10-14
- [17] 郑爱. PI<sub>3</sub>K/AKT信号通路在丙烯腈诱导的大鼠肝细胞凋亡中的作用[D]. 兰州: 兰州大学, 2019: 1-37
- [18] 赵乾龙,罗波艳,潘丽,等.丙烯腈诱导的氧化应激对

- 大鼠睾丸 NF- $\kappa$ B 信号通路的影响[J]. 生态毒理学报, 2016, 11(4): 155-160
- Zhao Q L, Luo B Y, Pan L, et al. Effects of oxidative stress induced via acrylonitrile on NF- $\kappa$ B signaling pathway in rats testis [J]. Asian Journal of Ecotoxicology, 2016, 11(4): 155-160 (in Chinese)
- [18] 张瑞萍, 魏倩, 高霞, 等. 丙烯腈暴露通过 NF- $\kappa$ B 信号通路诱导大鼠脑组织氧化应激[J]. 生态毒理学报, 2020, 15(6): 186-194
- Zhang R P, Wei Q, Gao X, et al. Acrylonitrile exposure induced oxidative stress in rat brain tissues through the NF- $\kappa$ B signaling pathway [J]. Asian Journal of Ecotoxicology, 2020, 15(6): 186-194 (in Chinese)
- [19] 罗波艳, 张瑞萍, 王珂, 等. 丙烯腈暴露对大鼠脑组织损伤及 iNOS/p38 MAPK 信号通路关键蛋白表达的影响[J]. 生态毒理学报, 2018, 13(2): 84-90
- Luo B Y, Zhang R P, Wang K, et al. The effects of acrylonitrile-exposure on brain tissue and the key protein expression of iNOS/p38 MAPK signaling pathway in rats [J]. Asian Journal of Ecotoxicology, 2018, 13 (2): 84-90 (in Chinese)
- [20] Suo L D, Kang K, Wang X, et al. Carvacrol alleviates ischemia reperfusion injury by regulating the PI3K-Akt pathway in rats [J]. PLoS One, 2014, 9(8): e104043
- [21] Song G, Ouyang G L, Bao S D. The activation of Akt/ PKB signaling pathway and cell survival [J]. Journal of Cellular and Molecular Medicine, 2005, 9(1): 59-71
- [22] Yang P, Zhao J Y, Hou L Y, et al. Vitamin E succinate induces apoptosis via the PI3K/AKT signaling pathways in EC109 esophageal cancer cells [J]. Molecular Medicine Reports, 2016, 14(2): 1531-1537

